

ГРАДИЕНТНЫЕ СВОЙСТВА ТЕПЛОВОГО ПОЛЯ НА ФАЗОВОЙ ГРАНИЦЕ ВЫСОКОСКОРОСТНОЙ КРИСТАЛЛИЗАЦИИ ПЕРЕОХЛАЖДЕННОГО РАСПЛАВА

О.Н. Шабловский, Д.Г. Кроль

Учреждение образования «Гомельский государственный технический
университет имени П.О. Сухого», *shablovsky-on@yandex.ru*

Введение. Процессы высокоскоростной кристаллизации глубоко переохлажденного расплава служат основой перспективных способов получения материалов с новыми функциональными свойствами. В настоящее время в экспериментальных условиях достигнуты скорости роста 20–70 м/с при глубине переохлаждения расплава до 300°К. История данного вопроса и библиография изложены в [1].

Важным аспектом проблемы роста является дендритное ветвление и анализ морфологической неустойчивости фазовой границы (ФГ). В настоящей статье рассматривается рост кристалла из однокомпонентного переохлажденного расплава с позиций теории локально-неравновесного теплопереноса [2]. Данная работа продолжает исследования [3]–[6] и имеет следующие цели: 1) изучить градиентные свойства теплового поля на линии роста; 2) проанализировать корреляцию «кривизна – скорость перемещения вершины дендрита».

Нормальные производные температуры и компонентов вектора теплового потока. Рассмотрим ФГ (двумерную плоскую либо осесимметричную), обладающую нестационарной кривизной. Уравнение линии роста постулируем в следующем виде:

$$f \equiv x + A(t) - [B(y)]^{p(t)} = 0.$$

Эта априорная зависимость основана на экспериментальных сведениях о нестационарных свойствах скорости и кривизны ФГ. Здесь t – время; в плоском ($\nu = 0$) двухмерном случае x, y – прямоугольные декартовы координаты; в случае осевой симметрии ($\nu = 1$) координата x соответствует оси симметрии; y – радиальная координата; $B = B(y)$ – непрерывная функция; $B(y) \geq 1$, $\dot{B}(y) \equiv dB/dy \geq 0$ при $y \geq 0$, причем $B(y=0) = 1$. Закон движения вершины дендрита ($y = 0$): $x_j(t, y = 0) \equiv x_0(t) = 1 - A(t)$, $t \geq 0$. ФГ движется влево, $dx_0/dt = -\dot{A}(t) < 0$.

Геометрические свойства ФГ представляются формулами:

$$G = |\text{grad}f|, \quad G = [1 + p^2 B^{2(p-1)} \dot{B}^2]^{1/2}, \quad B_1 = p B^{p-1} \dot{B}, \quad p = p(t) \geq 1, \quad \sin \beta = \frac{1}{G}, \quad \cos \beta = \frac{B_1}{G}.$$

Алгоритм построения криволинейных координатных осей с ортогональным базисом s, n, b (касательная, главная нормаль и бинормаль к поверхности ФГ) изложен в [7], см. также [6]. ФГ $x_j = B^p - A$ перемещается со скоростью $N = (\dot{p}B^p \ln B - \dot{A})/G$ и обладает средней кривизной

$$K = K_1 + K_2, \quad K_1 = \frac{B_2}{G^3}, \quad K_2 = \frac{\nu B_1}{yG}, \quad B_2 = B_2(y, t) = p B^{p-1} \ddot{B} + p(p-1) B^{p-2} \dot{B}^2. \quad (1)$$

В случае $p(t) \equiv 1$ получаем зависимости для ФГ стационарной формы. Работаем с двумерными уравнениями теплопереноса:

$$c \frac{\partial T}{\partial t} + \frac{\partial q_1}{\partial x} + \frac{\partial q_2}{\partial y} + \frac{\nu}{y} q_2 = 0, \quad q_1 + \gamma \frac{\partial q_1}{\partial t} = -\lambda \frac{\partial T}{\partial x}, \quad q_2 + \gamma \frac{\partial q_2}{\partial t} = -\lambda \frac{\partial T}{\partial y}; \quad \nu = 0, 1.$$

Основные обозначения: T – температура, $\mathbf{q}(q_1, q_2)$ – вектор удельного теплового потока; λ – коэффициент теплопроводности; c – объемная теплоемкость; γ – время релак-

сации теплового потока; $w^2 = \lambda/(\gamma c)$ - квадрат скорости распространения тепловых возмущений. После перехода от аргументов (x, y, t) к (s, n, t) получаем уравнения для функций T, q_n, q_s :

$$\left(\frac{c\xi_{3t}}{G}\right)\frac{\partial T}{\partial n} + \frac{\partial q_n}{\partial n} = \Pi_1, \quad (2)$$

$$\Pi_1 = \frac{v}{y}(q_n \cos \beta - q_s \sin \beta) - c \frac{\partial T}{\partial t} - \frac{cB_1}{G} \xi_{1t} \frac{\partial T}{\partial s} - q_s \frac{\partial}{\partial y}(\sin \beta) + q_n \frac{\partial}{\partial y}(\cos \beta) - \frac{\partial q_s}{\partial s};$$

$$\frac{\lambda}{G} \frac{\partial T}{\partial n} + \left(\gamma \sin \beta \frac{\xi_{3t}}{G}\right) \frac{\partial q_n}{\partial n} + \left(\gamma \cos \beta \frac{\xi_{3t}}{G}\right) \frac{\partial q_s}{\partial n} = \Pi_2, \quad (3)$$

$$\Pi_2 = -\frac{B_1}{G} \lambda \frac{\partial T}{\partial s} - \gamma \frac{B_1^2}{G^2} \xi_{1t} \frac{\partial q_s}{\partial s} - \gamma \cos \beta \frac{\partial q_s}{\partial t} - \gamma \frac{B_1}{G^2} \xi_{1t} \frac{\partial q_n}{\partial s} - \gamma \sin \beta \frac{\partial q_n}{\partial t} -$$

$$-\gamma \left(q_n \frac{\partial \sin \beta}{\partial t} + q_s \frac{\partial \cos \beta}{\partial t} \right) - q_n \sin \beta - q_s \cos \beta;$$

$$-\frac{\lambda B_1}{G} \frac{\partial T}{\partial n} - \left(\gamma \cos \beta \frac{\xi_{3t}}{G}\right) \frac{\partial q_n}{\partial n} + \left(\gamma \sin \beta \frac{\xi_{3t}}{G}\right) \frac{\partial q_s}{\partial n} = \Pi_3, \quad (4)$$

$$\Pi_3 = -\frac{\lambda}{G} \frac{\partial T}{\partial s} + \gamma \frac{B_1^2}{G^2} \xi_{1t} \frac{\partial q_n}{\partial s} - \gamma \frac{B_1}{G^2} \xi_{1t} \frac{\partial q_s}{\partial s} + \gamma \cos \beta \frac{\partial q_n}{\partial t} - \gamma \sin \beta \frac{\partial q_s}{\partial t} -$$

$$-\gamma \left(q_s \frac{\partial \sin \beta}{\partial t} - q_n \frac{\partial \cos \beta}{\partial t} \right) + q_n \cos \beta - q_s \sin \beta.$$

Здесь $\mathbf{q} = \mathbf{q}_1 + \mathbf{q}_2 = \mathbf{q}_n + \mathbf{q}_s$; $q_1 = q_n \sin \beta + q_s \cos \beta$, $q_2 = -q_n \cos \beta + q_s \sin \beta$.

$$\xi_{1t} = \dot{A} + \frac{\partial}{\partial t} \int \frac{dy}{B_1(y, t)}, \quad \xi_{3t} = \dot{A} - \dot{p} B^p \ln B; \quad \frac{\partial G}{\partial t} = \frac{B_1}{G} \frac{\partial B_1}{\partial t}, \quad \frac{\partial B_1}{\partial t} = \dot{p} B B^{p-1} (1 + p \ln B),$$

$$\dot{p} = dp(t)/dt, \quad \dot{B} = dB(y)/dy.$$

Данные три уравнения образуют систему линейных неоднородных алгебраических уравнений по отношению к нормальным производным $\frac{\partial T}{\partial n}$, $\frac{\partial q_n}{\partial n}$, $\frac{\partial q_s}{\partial n}$. Определитель этой системы равен

$$\Delta = \frac{\lambda \gamma \xi_{3t}}{G} (M^2 - 1), \quad M^2 = \frac{N^2}{w^2}, \quad N = -\frac{\xi_{3t}}{G}. \quad (5)$$

Нормальные производные подсчитываем по формулам:

$$\frac{\partial T}{\partial n} = \frac{\Delta_1^1}{c\gamma G(N^2 - w^2)}, \quad (6)$$

$$\frac{\partial q_n}{\partial n} = \frac{\Delta_2^1}{c\gamma G^2(N^2 - w^2)}, \quad (7)$$

$$\frac{\partial q_s}{\partial n} = \frac{\Pi_3 + B_1 \Pi_2}{\gamma \xi_{3t}}. \quad (8)$$

$$\Delta_1^1 = \Pi_1 \gamma \xi_{3t} + B_1 \Pi_3 - \Pi_2; \quad \Delta_2^1 = c \xi_{3t} (\Pi_2 - B_1 \Pi_3) - \lambda \Pi_1 G^2.$$

ФГ кристаллизации моделируем поверхностью сильного разрыва теплового поля. Динамические условия совместности получаем обычным образом [8]:

$$q_{sj} \equiv q_j \cos(\beta - \beta_j) = q_s \cos \beta; \quad (9)$$

$$q_{nj} \equiv q_j \sin(\beta - \beta_j) = q_* \sin \beta + N(u_j - u_*) - L \left(N + \gamma \frac{\partial N}{\partial t} \right); \quad (10)$$

$$T_j = T_c - \frac{T_c U}{L} K - \frac{|N|}{\mu}; \quad q_j = |q_j|, \quad q_* = |q_*|; \quad U, \mu - \text{const}. \quad (11)$$

Звездочкой отмечены параметры расплава; индекс j указывает, что значение функции определено на правой стороне разрыва, в твердой фазе; L – теплота фазового перехода единицы объема вещества; μ – кинетический коэффициент роста; U – поверхностная энергия границы раздела фаз; T_c – равновесная температура кристаллизации; $c = du/dT$. Подробное обсуждение условий (9) – (11) имеется в [6]. Здесь допускается случай одномерного нестационарного теплового поля расплава, $q_* = q_*(x, t)$, $T_* = T_*(x, t)$. Для определенности анализируем вариант $N = Nn$, $q_* = q_* i_1$, принимая $N < 0$, $q_* > 0$. Функции T_j , q_{nj} , q_{sj} определяем с помощью (9)–(11) через параметры расплава q_* , T_* . Продифференцировав по касательной координате формулы (9)–(11), находим

$$\left(\frac{\partial T}{\partial s} \right)_j = \frac{\partial T_j}{\partial s}, \quad \left(\frac{\partial q_n}{\partial s} \right)_j = \frac{\partial q_{nj}}{\partial s}, \quad \left(\frac{\partial q_s}{\partial s} \right)_j = \frac{\partial q_{sj}}{\partial s}.$$

Нормальные производные на ФГ

$$\left(\frac{\partial T}{\partial n} \right)_j, \quad \left(\frac{\partial q_n}{\partial n} \right)_j, \quad \left(\frac{\partial q_s}{\partial n} \right)_j \quad (12)$$

подсчитываем на основе (9)–(11) и их дифференциальных следствий, получаемых воздействием операторов $\frac{\partial}{\partial s} = \frac{\partial}{\partial x} \cos \beta + \frac{\partial}{\partial y} \sin \beta$ и $\frac{\partial}{\partial n} = \frac{\partial}{\partial x} \sin \beta - \frac{\partial}{\partial y} \cos \beta$.

Обсуждение результатов. Математической моделью появления боковой ветви дендрита на ФГ служит градиентная катастрофа, с наступлением которой производные (12) становятся неограниченно большими. Анализ полученных выражений позволяет утверждать, что существуют три причины разрушения теплового поля на линии роста.

I. Из (6), (7) ясно, что разрушение происходит в «звуковой» точке (x_j^1, y^1, t^1) , когда $N^2(y^1, t^1) = w_j^2$; здесь $x_j^1 = x_j(y^1, t^1)$.

II. Согласно (5), (8), градиентная катастрофа наступает в точке остановки (x_{jr}, y_r, t_r) ФГ, когда $N(y_r, t_r) = 0$, т.е. $(\dot{p}B^p \ln B)_r = (\dot{A})_r$. Этот вариант возможен только при нестационарной кривизне ФГ, когда функция $p(t)$ не является тождественной константой. В частном случае, когда $p(t) \equiv \text{const}$, кривизна стационарна ($\partial K / \partial t \equiv 0$, см. (1)), и градиентная катастрофа может появиться только в «звуковой» точке.

Отметим еще, что в кинематическом отношении $\dot{A}(t)$ характеризует скорость, отвечающую поступательной компоненте движения ФГ; $\dot{p}(t)$ определяет угловую скорость касательной к ФГ в каждой ее точке. В физическом отношении $\dot{A}(t)$ описывает скорость движения вершины дендрита; $p(t)$ входит в формулу для кривизны $K(y=0, t) = p(t)\ddot{B}(y=0)$.

III. При подсчете производной $(\partial q_n / \partial t)_j$, входящей в Π_2, Π_3 появляется $\partial^2 N / \partial t^2$, т.е. формулы (12) содержат производные третьего порядка $d^3 A(t) / dt^3$, $d^3 p(t) / dt^3$. Градиентная катастрофа появляется, когда $p(t)$ и (или) $A(t)$ содержат входящую аддитивно степенную либо логарифмическую особенности:

$$(t_3 - t)^{3-\alpha}, t_3 > 0, 0 < \alpha < 1; (t_3 - t)^3 \ln(t_3 - t), t_3 > 0.$$

Из рассмотрения аналитических выражений Π_2 и Π_3 ясно, что локальная неравновесность проявляет себя не только по отношению к тепловому потоку (см. слагаемые, содержащие множители $\gamma \partial q_n / \partial t$, $\gamma \partial q_s / \partial t$), но и по отношению к углу β , характеризующему двумерные геометрические свойства ФГ (см. слагаемые содержащие множители $\gamma \partial \sin \beta / \partial t$, $\gamma \partial \cos \beta / \partial t$). Таким образом, нормальные производные (6) - (8) содержат слагаемые вида $\gamma \frac{\partial}{\partial t}(q_n \cos \beta)$, $\gamma \frac{\partial}{\partial t}(q_s \cos \beta)$, а это значит, что на фоне локальной неравновесности процесса роста наблюдается нелинейное (мультипликативное) взаимодействие тепловых и морфологических свойств ФГ. На рисунках 1 и 2 представлены результаты расчета плоской ФГ при

$$A_1(t) = a_1(1 - \cos \omega_1 t) / \omega_1, B(y) = 1 + n_1 y, p(t) = 1 + a_2(1 - \sin \omega_2 t), a_2 > 0, t \geq 0$$

$$q_*(x) = q_*^1 \sin^2(k_* x); q_*^1, k_* - \text{const}, q_*^1 > 0, x \in [x_1, 0], x_1 < 0, N_m = -N.$$

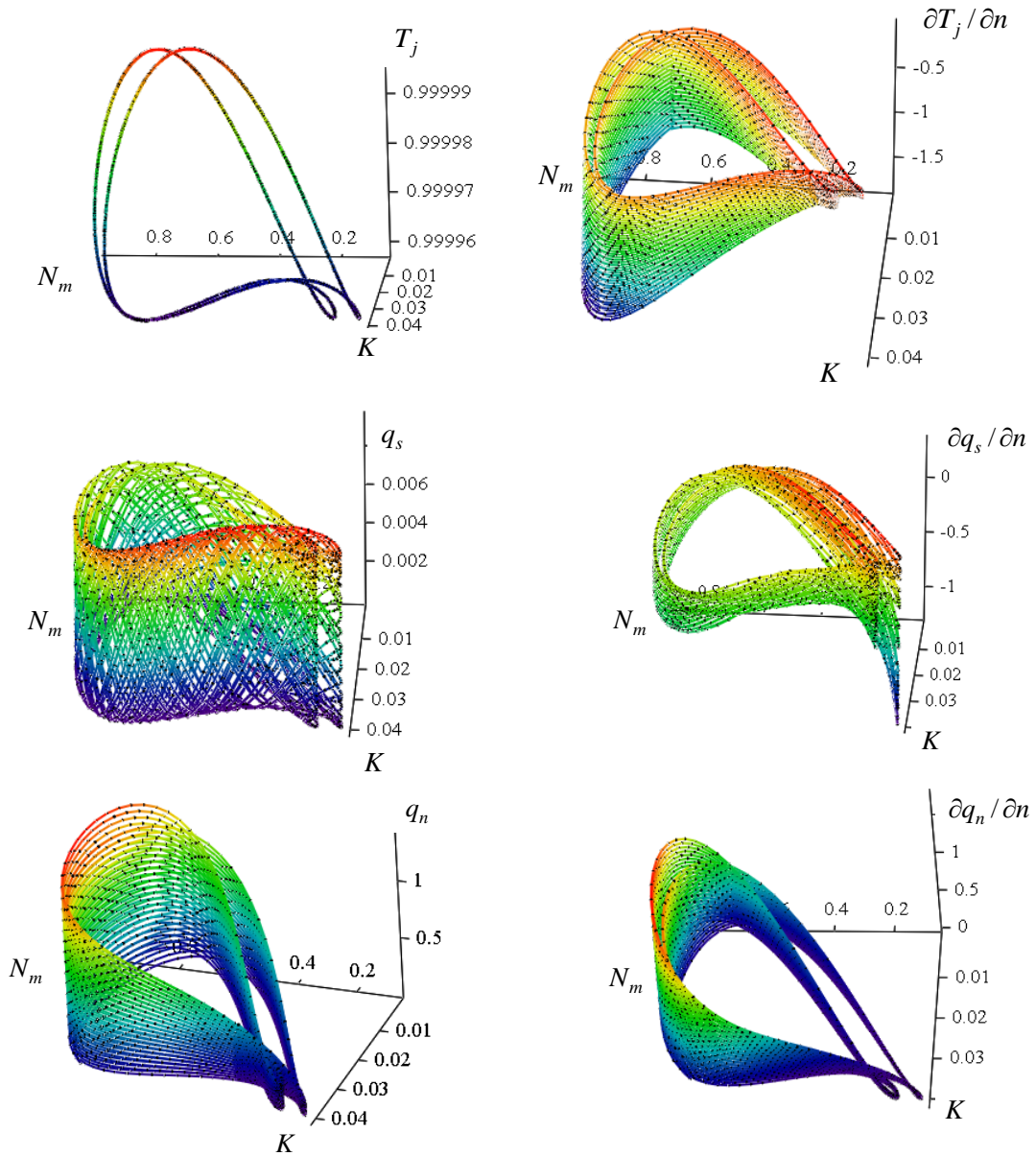


Рис. 1. Тепловые процессы на периферии дендрита

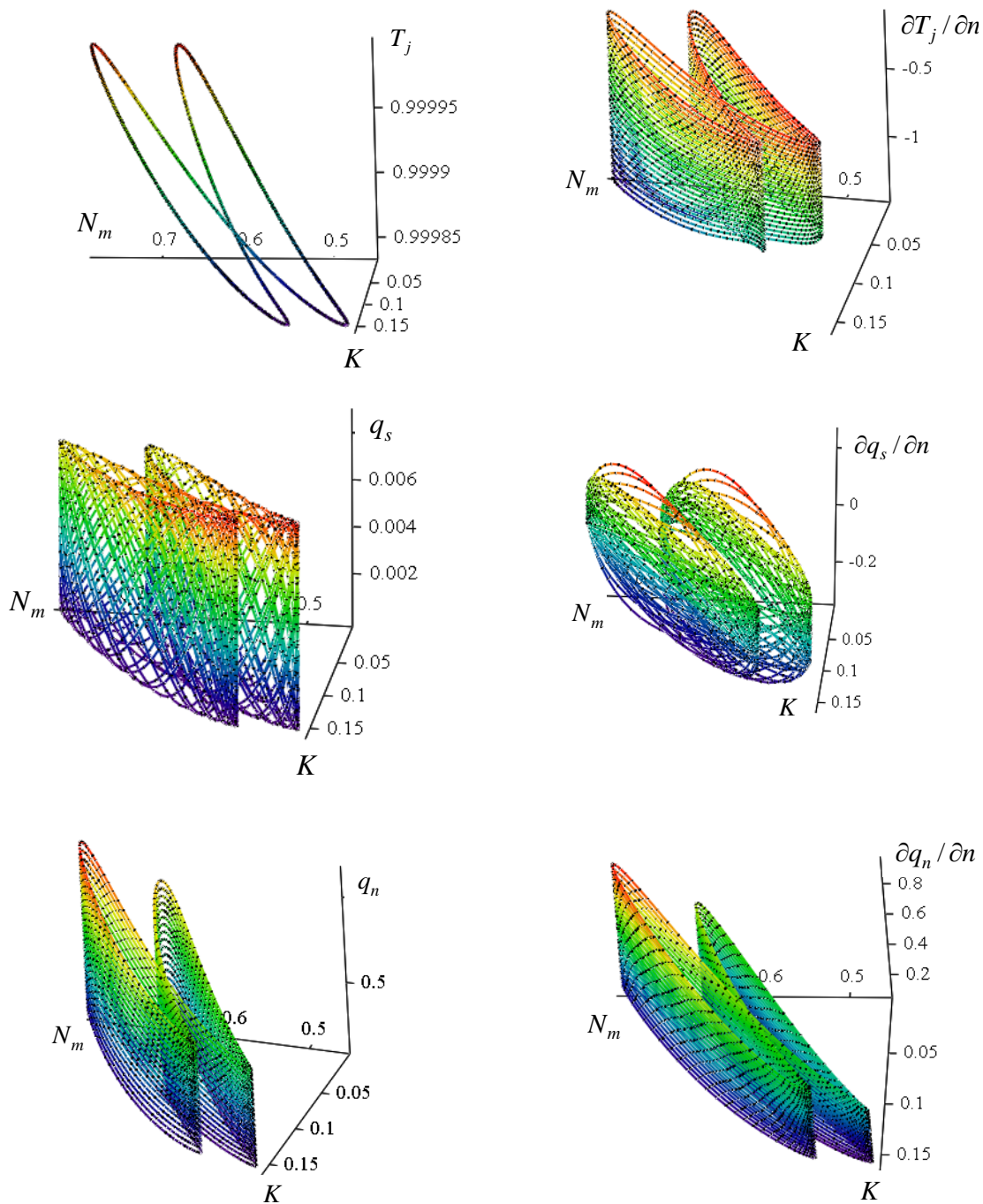


Рис. 2. Тепловые процессы в конечной окрестности вершины дендрита

Здесь мы учитываем известные в литературе данные о существовании периодических по времени возмущений скорости и кривизны вершины дендрита. Расчеты были проведены в безразмерных переменных. В качестве масштабов величин при обезразмеривании были приняты теплофизические параметры расплава чистого никеля, переохлажденного на 67°K , см. [5].

Пример расчета: $\nu = 0$, $n_1 = 1$; $k_* = 1$; $q_*^1 = 0,01$; $\omega_1 = 0,5$; $\omega_2 = 1$; $a_1 = 0,1$; $a_2 = 0,4$. Информация, представленная на рисунках 1 и 2, позволяет судить об интервалах, в кото-

рых меняются основные параметры теплового поля на линии роста. Расчеты показали, что характер колебаний функции $p(t)$ не влияет принципиальным образом на свойства данной теплофизической системы. Меняются отдельные фрагменты фазовых портретов, но основные закономерности эволюции линии роста сохраняются. Рисунок 1 относится к периферии дендрита: $y = 1,0$; рисунок 2 демонстрирует свойства процесса в конечной окрестности вершины ($y = 0,01$), где большая кривизна линии роста в значительной степени влияет на градиентные свойства теплового поля.

Заключение. Представлены результаты аналитического и численного исследования тепловых свойств двумерных линий роста, обладающих плоской и осевой симметриями. Анализ выполнен для случаев периодического по времени возмущения скорости и кривизны фазовой границы. Обнаружены существенные количественные различия между режимами колебаний вблизи вершины дендрита и на конечном удалении от нее. Показано, что основными параметрами влияния на тепловое состояние линии роста являются частота и фаза колебаний. Установлено, что система «расплав – кристалл» проявляет определенную стабильность по отношению к изменению режимов колебаний кривизны.

Список литературы

1. Herlach, d. M. Metastable solids from undercooled melts / d. M. Herlach, p. Galenko, d. Holland-moritz. – oxford: pergamon, 2007. – 448 p.
2. Жоу, Д. Расширенная необратимая термодинамика / Д. Жоу, Х. Касас-баскес, Дж. Лебон. – Москва–Ижевск: НИЦ «Регулярная и хаотическая динамика», 2006. – 528 с.
3. Шабловский, о. Н. Релаксационный теплоперенос в нелинейных средах / о. Н. Шабловский. – гомель: ггу им. П.о. сухого, 2003. – 382 с.
4. Шабловский, о. Н. Тепловые свойства фронта кристаллизации однокомпонентного чистого переохлажденного расплава / о. Н. Шабловский, д. Г. Кроль // расплавы. – 2005. – № 4. – с. 69–81.
5. Шабловский, о. Н. Расчет кинетических параметров фронта кристаллизации глубоко переохлажденного расплава / о. Н. Шабловский, д. Г. Кроль // материалы, технологии, инструменты. – 2007. – т. 12, № 1. – с. 5–10.
6. Шабловский, о. Н. Тепловая градиентная катастрофа и рост двумерного свободного дендрита в переохлажденном расплаве / о. Н. Шабловский // прикладная физика. – 2007. – №3. – с. 29–37.
7. Emanuel, g. Shock wave derivatives / g. Emanuel, min-shan lin // phys. Fluids. – 1998. – vol. 31, № 12. – p. 3625–3633.
8. Седов, л. И. Механика сплошной среды / л. И. Седов. – м.: наука, 1973, т.1. – 536 с.